

# Ordonnancement temps réel avec gestion de l'énergie renouvelable

Younes Chandarli

Directeur : Laurent George

Encadrant : Damien Masson

Octobre 2011 - Décembre 2014

2 Décembre 2014

UNIVERSITÉ —  
— PARIS-EST



LABORATOIRE D'INFORMATIQUE  
GASPARD-MONGE

Sous la co-tutelle de :  
CNRS  
ÉCOLE DES PONTS PARISTECH  
ESIEE PARIS  
UPEM • UNIVERSITÉ PARIS-EST MARNE-LA-VALLÉE

# Plan

- 1 Introduction
- 2 Problématiques
- 3 État de l'art
- 4 Contributions
- 5 Conclusion

# Plan

- 1 Introduction
- 2 Problématiques
- 3 État de l'art
- 4 Contributions
- 5 Conclusion

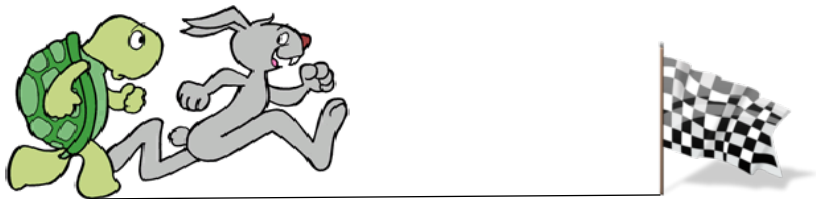
# Motivation

Ordonnancement **temps réel** des systèmes  
**collecteurs d'énergie**  
sur monoprocesseur

# Système temps réel

## Système temps réel

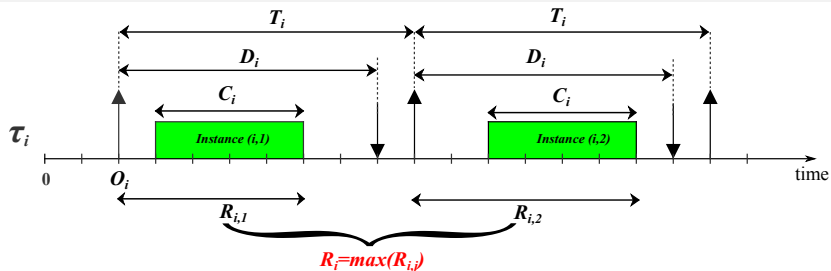
En informatique, un système est considéré comme étant temps réel si le respect de ses contraintes temporelles est aussi important que l'exactitude des résultats.



# Applications temps réel



# Tâches temps réel



- $C_j$  : le pire temps d'exécution
- $D_j$  : l'échéance relative
- $T_j$  : la période
- $O_j$  : la première date d'activation
- $P_j$  : la priorité
- $R_j$  : le pire temps de réponse

 C. L. Liu, and James W. Layland,  
 "Hard Real-Time Computing Systems", ACM Journal, 1973.

# Tâches temps réel

- Problématique : exécuter toutes les tâches en respectant leurs échéances
- Algorithmes d'ordonnancement :
  - Stratégies à priorité de tâche fixe (RM, DM)
  - Stratégies à priorité d'instance fixe (EDF)
  - Stratégies à priorités dynamiques (LLF)

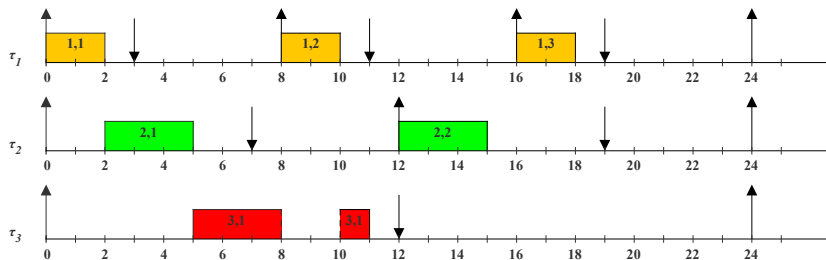


FIGURE: Un système ordonnancé en priorité de tâche fixe

# Définitions

- **Algorithme optimal** : si un système donné n'est pas ordonnançable avec l'algorithme optimal, alors il n'existe pas de solution pour ce système
- **Systemes non-concrets** : Il n'y pas d'hypothèses sur certains paramètres
- **Utilisation processeur** du système :  $U = \sum_{i=1}^n C_i / T_i$
- **Demande processeur** d'une tâche :  $wp_i(t) = \left\lceil \frac{t - O_i}{T_i} \right\rceil \times C_i$
- **Slack-time** ou **Quantité de temps creux** d'une instance : la somme des temps d'inactivité du processeur jusqu'à son échéance

# Définitions

- **Algorithme optimal** : si un système donné n'est pas ordonnançable avec l'algorithme optimal, alors il n'existe pas de solution pour ce système
- **Systèmes non-concrets** : Il n'y pas d'hypothèses sur certains paramètres
- **Utilisation processeur** du système :  $U = \sum_{i=1}^n C_i / T_i$
- **Demande processeur** d'une tâche :  $wp_i(t) = \left\lceil \frac{t - O_i}{T_i} \right\rceil \times C_i$
- **Slack-time** ou **Quantité de temps creux** d'une instance : la somme des temps d'inactivité du processeur jusqu'à son échéance

# Définitions

- **Algorithme optimal** : si un système donné n'est pas ordonnançable avec l'algorithme optimal, alors il n'existe pas de solution pour ce système
- **Systemes non-concrets** : Il n'y pas d'hypothèses sur certains paramètres
- **Utilisation processeur** du système :  $U = \sum_{i=1}^n C_i/T_i$
- **Demande processeur** d'une tâche :  $wp_i(t) = \left\lceil \frac{t-O_i}{T_i} \right\rceil \times C_i$
- **Slack-time** ou **Quantité de temps creux** d'une instance : la somme des temps d'inactivité du processeur jusqu'à son échéance

# Définitions

- **Algorithme optimal** : si un système donné n'est pas ordonnançable avec l'algorithme optimal, alors il n'existe pas de solution pour ce système
- **Systèmes non-concrets** : Il n'y pas d'hypothèses sur certains paramètres
- **Utilisation processeur** du système :  $U = \sum_{i=1}^n C_i / T_i$
- **Demande processeur** d'une tâche :  $wp_i(t) = \left\lceil \frac{t - O_i}{T_i} \right\rceil \times C_i$
- **Slack-time** ou **Quantité de temps creux** d'une instance : la somme des temps d'inactivité du processeur jusqu'à son échéance

# Définitions

- **Algorithme optimal** : si un système donné n'est pas ordonnançable avec l'algorithme optimal, alors il n'existe pas de solution pour ce système
- **Systèmes non-concrets** : Il n'y pas d'hypothèses sur certains paramètres
- **Utilisation processeur** du système :  $U = \sum_{i=1}^n C_i / T_i$
- **Demande processeur** d'une tâche :  $wp_i(t) = \left\lceil \frac{t - O_i}{T_i} \right\rceil \times C_i$
- **Slack-time** ou **Quantité de temps creux** d'une instance : la somme des temps d'inactivité du processeur jusqu'à son échéance

# Analyse de temps de réponse classique

## Méthode

- 1 Calculer le temps de réponse des tâches dans le pire scénario,
- 2 **Test d'ordonnançabilité exact** : le système de tâches est ordonnançable si  $\forall \tau_i, R_i \leq D_i$ .

## Pour l'ordonnancement à priorité fixe classique

- 1 Pire scénario : l'activation synchrone de toutes les tâches
- 2 Calcul du pire temps de réponse de chaque tâche  $\tau_i$  avec l'algorithme itératif :

$$\begin{cases} wp_i^0 & = C_i \\ wp_i^{m+1} & = C_i + \sum_{j < i} \left\lceil \frac{wp_i^m}{T_j} \right\rceil \times C_j \\ R_i & = \min_{wp_i^{m+1} = wp_i^m} (wp_i^m) \end{cases}$$

# Analyse de temps de réponse classique

## Méthode

- 1 Calculer le temps de réponse des tâches dans le pire scénario,
- 2 **Test d'ordonnançabilité exact** : le système de tâches est ordonnançable si  $\forall \tau_i, R_i \leq D_i$ .

## Pour l'ordonnancement à priorité fixe classique

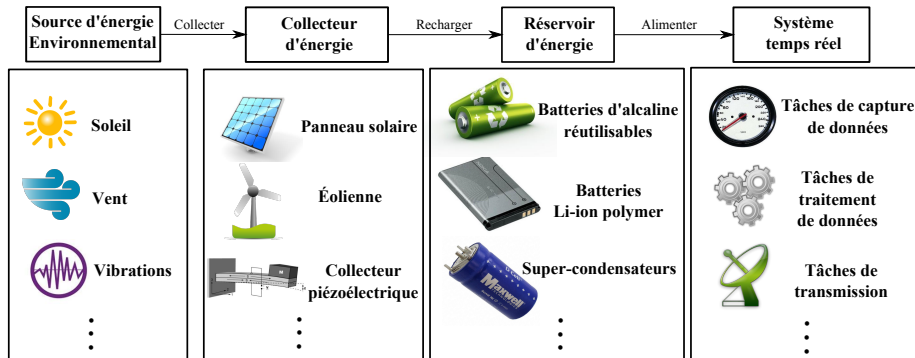
- 1 Pire scénario : l'activation synchrone de toutes les tâches
- 2 Calcul du pire temps de réponse de chaque tâche  $\tau_i$  avec l'algorithme itératif :

$$\begin{cases} wp_i^0 & = C_i \\ wp_i^{m+1} & = C_i + \sum_{j < i} \left\lceil \frac{wp_i^m}{T_j} \right\rceil \times C_j \\ R_i & = \min_{wp_i^{m+1} = wp_i^m} (wp_i^m) \end{cases}$$

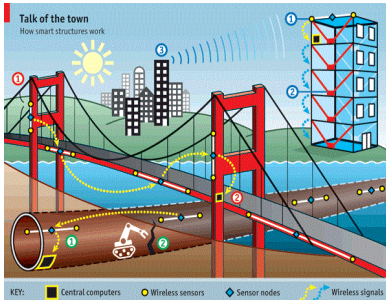
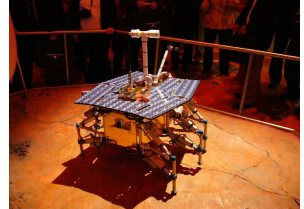
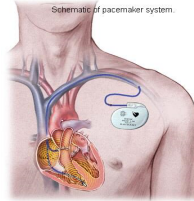
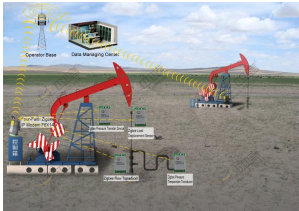
# Motivation

Ordonnancement temps réel des systèmes  
**collecteurs d'énergie**  
sur monoprocesseur

# Les systèmes collecteurs d'énergie



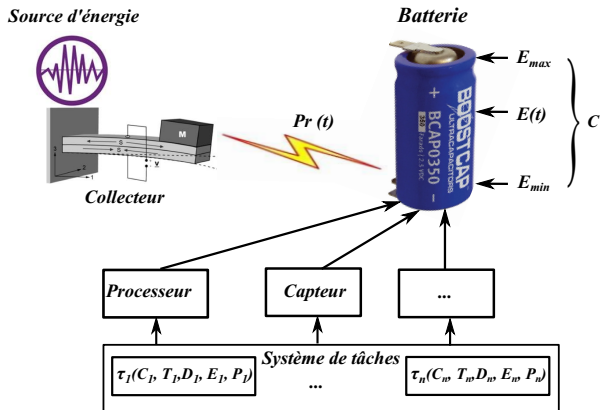
# Applications des systèmes collecteurs d'énergie



# Plan

- 1 Introduction
- 2 Problématiques**
- 3 État de l'art
- 4 Contributions
- 5 Conclusion

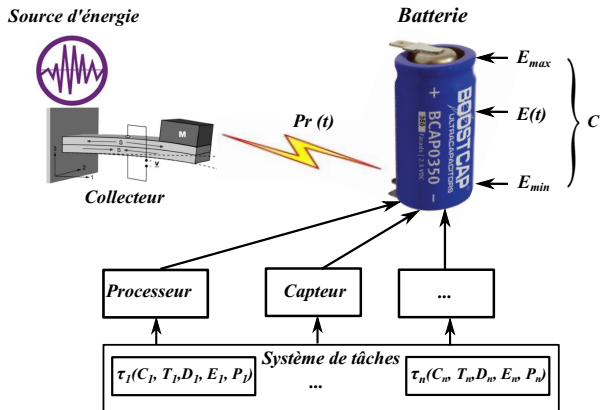
## Modèle



- Le modèle d'énergie

- $P_r(t)$  : la fonction de rechargement constante :  $P_r(t) = P_r$
- Taux de consommation constants et différents pour chaque tâche

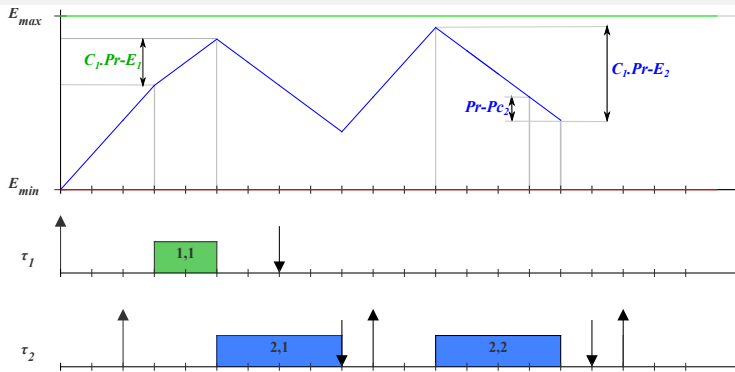
## Modèle



- Le modèle d'énergie

- $P_r(t)$  : la fonction de rechargement **constante** :  $P_r(t) = P_r$
- Taux de consommation **constants** et **différents** pour chaque tâche

# Tâches temps réel avec les paramètres d'énergie

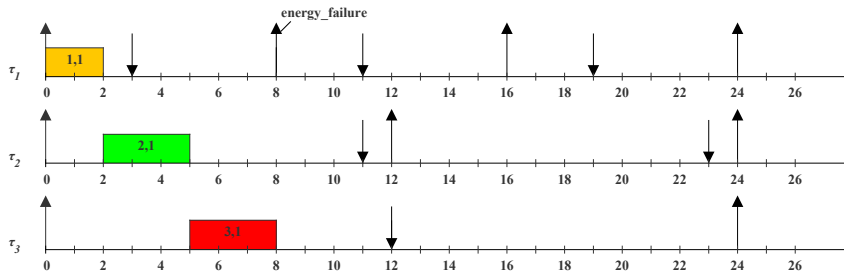
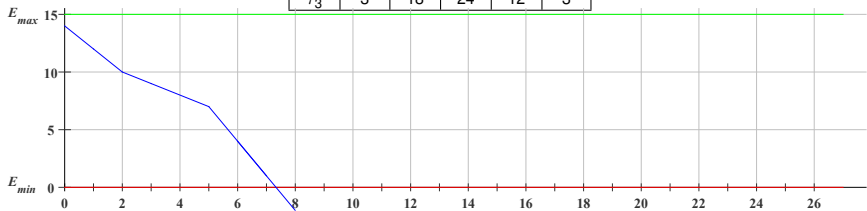


En plus des paramètres temporels classiques, la tâche  $\tau_i$  est caractérisée par :

- $E_i$  : sa pire consommation d'énergie
- $Pc_i$  : son taux de consommation ( $Pc_i = E_i / C_i$ )
  - La tâche est dite consommatrice d'énergie si  $Pc_i > P_r$
  - La tâche est dite génératrice d'énergie si  $Pc_i \leq P_r$

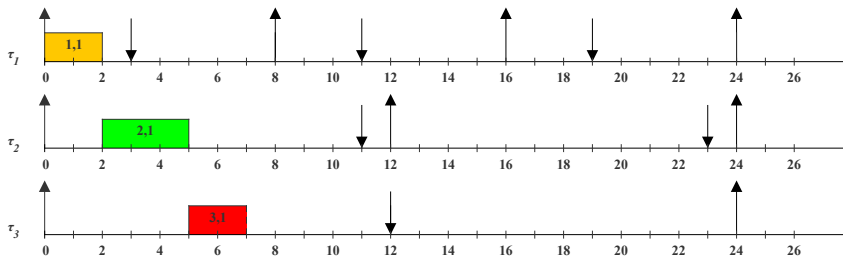
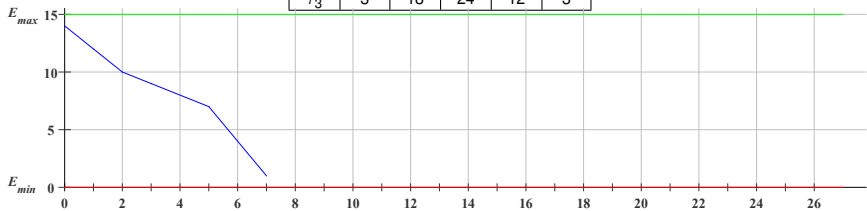
# Ordonnancement des systèmes collecteurs d'énergie

-	$C_i$	$E_i$	$T_i$	$D_i$	$P_i$
$\tau_1$	2	10	8	3	1
$\tau_2$	3	12	12	11	2
$\tau_3$	3	18	24	12	3



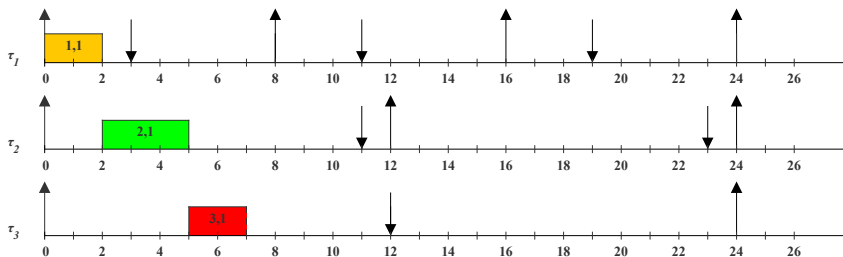
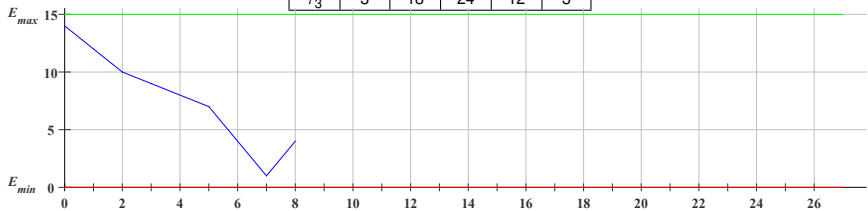
# Ordonnancement des systèmes collecteurs d'énergie

-	$C_i$	$E_i$	$T_i$	$D_i$	$P_i$
$\tau_1$	2	10	8	3	1
$\tau_2$	3	12	12	11	2
$\tau_3$	3	18	24	12	3



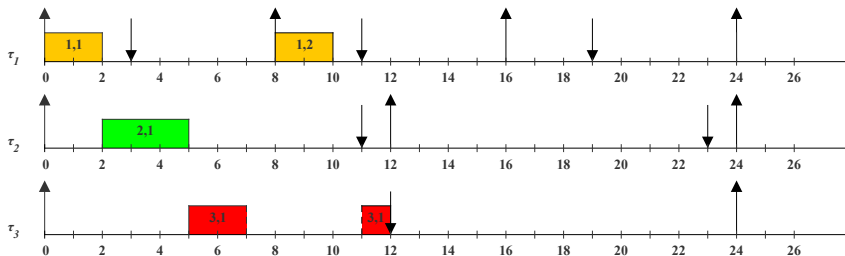
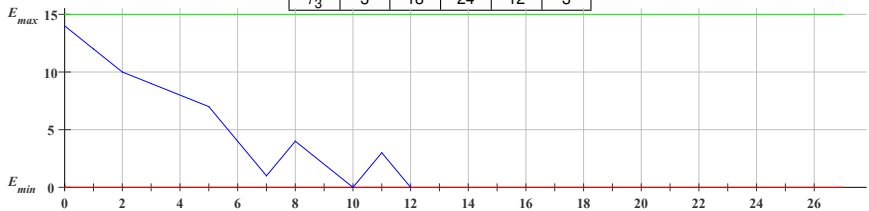
# Ordonnancement des systèmes collecteurs d'énergie

-	$C_i$	$E_i$	$T_i$	$D_i$	$P_i$
$\tau_1$	2	10	8	3	1
$\tau_2$	3	12	12	11	2
$\tau_3$	3	18	24	12	3



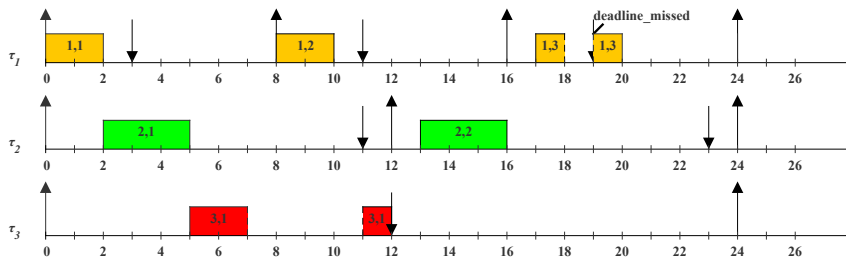
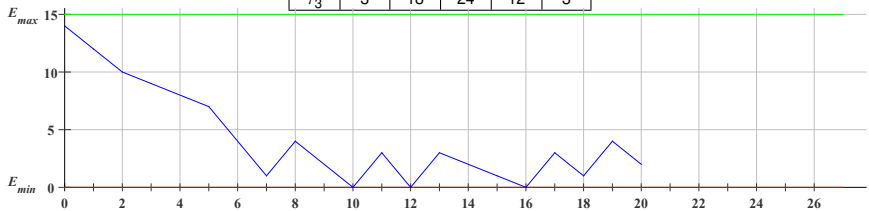
# Ordonnancement des systèmes collecteurs d'énergie

-	$C_i$	$E_i$	$T_i$	$D_i$	$P_i$
$\tau_1$	2	10	8	3	1
$\tau_2$	3	12	12	11	2
$\tau_3$	3	18	24	12	3



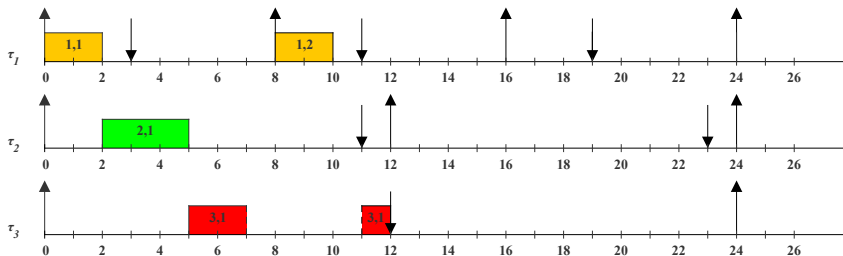
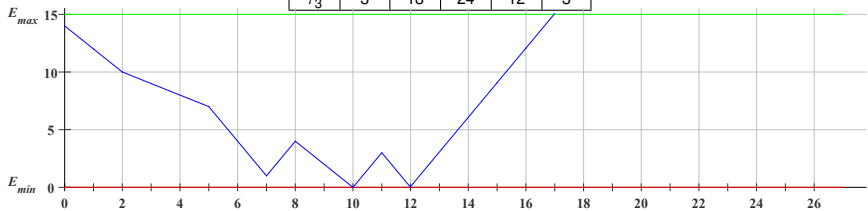
# Ordonnancement des systèmes collecteurs d'énergie

-	$C_i$	$E_i$	$T_i$	$D_i$	$P_i$
$\tau_1$	2	10	8	3	1
$\tau_2$	3	12	12	11	2
$\tau_3$	3	18	24	12	3



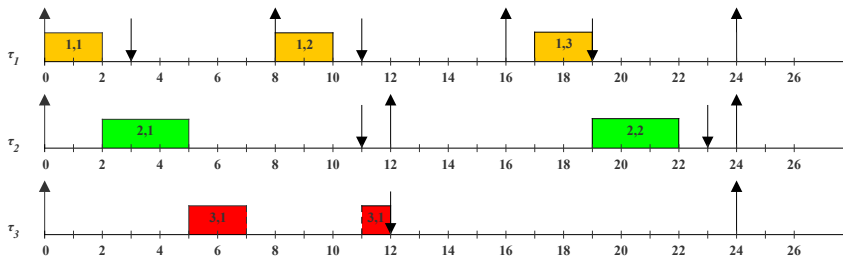
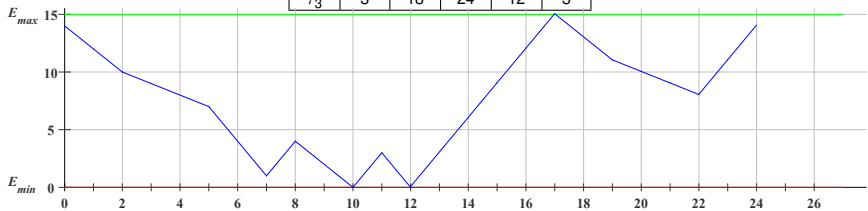
# Ordonnancement des systèmes collecteurs d'énergie

-	$C_i$	$E_i$	$T_i$	$D_i$	$P_i$
$\tau_1$	2	10	8	3	1
$\tau_2$	3	12	12	11	2
$\tau_3$	3	18	24	12	3



# Ordonnancement des systèmes collecteurs d'énergie

-	$C_i$	$E_i$	$T_i$	$D_i$	$P_i$
$\tau_1$	2	10	8	3	1
$\tau_2$	3	12	12	11	2
$\tau_3$	3	18	24	12	3



# Les hypothèses

- Ordonnancement préemptif à priorité de tâche fixe
- Taux de rechargement constant ( $P_r(t) = P_r$ )
- $P_{C_i}$  constant et différent pour chaque tâche
- Échéances contraintes ou implicites ( $\forall_i D_i \leq T_i$ )

# Définitions

- Utilisation d'énergie du système :  $Ue = \sum_{i=1}^n E_i / (T_i \times P_r)$
- Demande d'énergie d'une tâche :  $we_j(t) = \left\lceil \frac{t - O_i}{T_i} \right\rceil \times E_i$
- Slack-energy ou surplus d'énergie d'une instance : l'excédant énergétique entre l'instant courant et l'échéance de l'instance.

# Problématiques

- 1 **Les algorithmes** : Comment peut-on ordonnancer un ensemble de tâches à priorité fixe sur un seul processeur de telle sorte que les échéances de toutes les tâches soient respectées et que leur demande d'énergie soit satisfaite tout en gardant le niveau du réservoir entre  $E_{min}$  et  $E_{max}$  ?
- 2 **Les conditions d'ordonnançabilité** : Existe-t-il une condition nécessaire et suffisante pour vérifier l'ordonnançabilité d'un système de tâches donné ?
- 3 **La capacité minimale du réservoir** : Quelle est la capacité minimale de la batterie qui préserve l'ordonnançabilité d'un système donné ?

# Plan

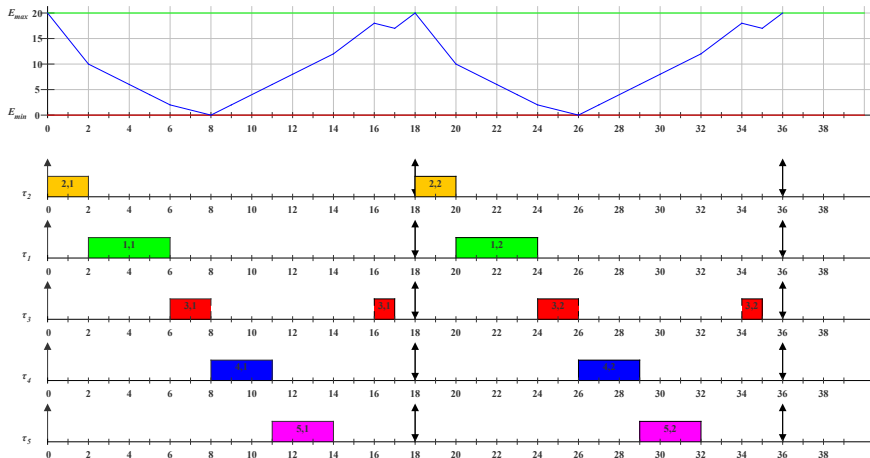
- 1 Introduction
- 2 Problématiques
- 3 État de l'art**
- 4 Contributions
- 5 Conclusion

# État de l'art

Les principaux algorithmes disponibles dans l'état de l'art :

- *EDL* : EDF as Late as possible (1999)
- *FBA* : Frame-Based Algorithm (2001)
- *LSA* : Lazy Scheduling Algorithm (2006)
- *EDeg* : EDF with energy guarantee (2011)
- *PFP<sub>ST</sub>* : Preemptive Fixed-Priority with Slack-Time (2011)

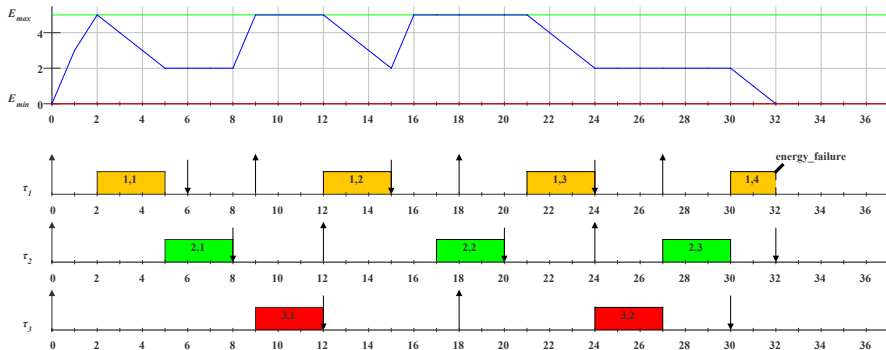
# L'algorithme *FBA* (le modèle Frame-Based)



A. Allavena and D. Mossé,

“Scheduling of Frame-based Embedded Systems with Rechargeable Batteries”,  
Workshop in conjunction with RTAS, 2001.

# L'algorithme *EDL* : EDF au plus tard

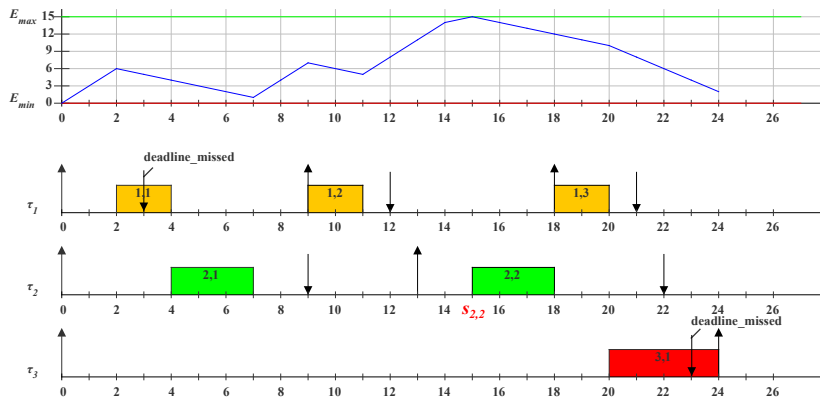


M. Chetto,

“The EDL Server for Scheduling Periodic and Soft Aperiodic Tasks with Resource Constraints”,  
Real-Time Systems Journal, 1999.

# L'algorithme LSA

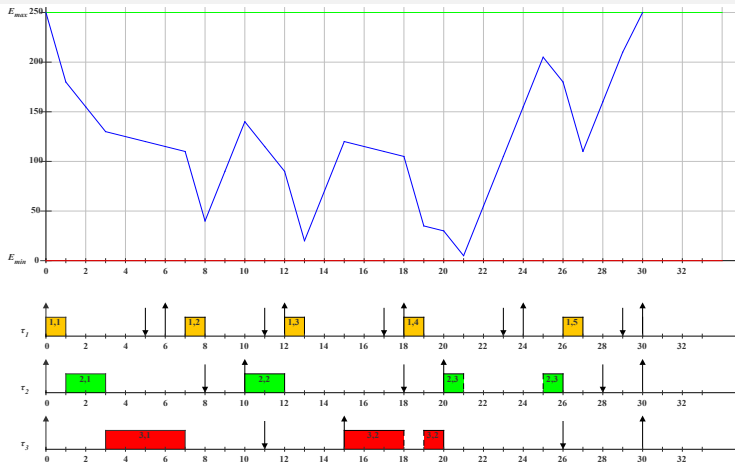
Même taux de consommation pour toutes les tâches



C. Moser and L. Thiele and L. Benini and D. Brunelli,  
 "Real-Time Scheduling with Regenerative Energy",  
 ECRTS, 2006.

# L'algorithme *EDeg* : EDF avec garanties d'énergie

Utilise la notion de Slack-energy et Slack-time



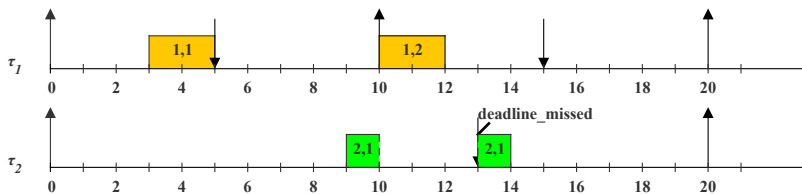
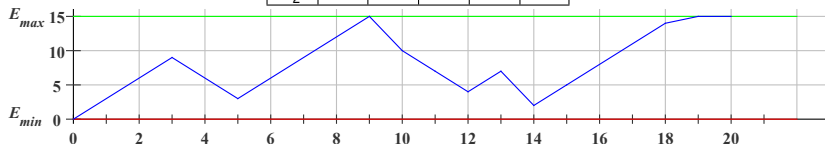
H. EL Ghor, and M. Chetto and R.H. Chehade,

“A Real-time Scheduling Framework for Embedded Systems with Environmental Energy Harvesting”,

Computers & Electrical Engineering Journal, 2011.

# L'algorithme $PFP_{ST}$ (hybride au plus tôt / au plus tard)

-	$C_i$	$E_i$	$T_i$	$D_i$	$P_i$
$\tau_1$	2	12	10	5	1
$\tau_2$	2	16	20	13	2



M. Chetto, and D. Masson and S. Midonnet,

“Fixed Priority Scheduling Strategies for Ambient Energy-Harvesting Embedded systems”,  
Computers & Electrical Green Computing and Communications, 2011.

- *FBA* : optimal uniquement pour le modèle Frame-Based
- *LSA*, *EDL* et *EDeg* : optimaux dans certains cas dans la classe des algorithmes à priorité d'instance fixe (EDF)
- Pas d'algorithme optimal ni de test d'ordonnançabilité en priorité de tâche fixe

# Plan

1 Introduction

2 Problématiques

3 État de l'art

4 Contributions

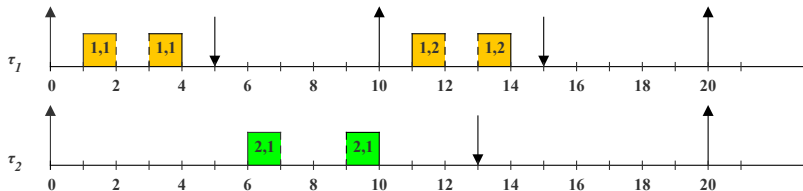
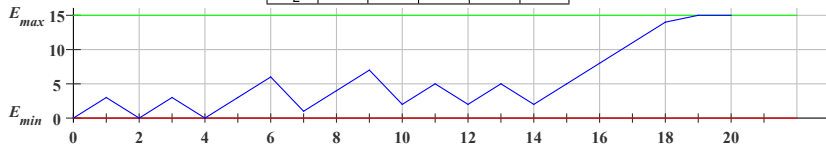
- Systèmes non-concrets et tâches consommatrices :  $PFP_{ASAP}$
- Systèmes concrets et tâches consommatrices et génératrices : tests d'ordonnançabilité
- Systèmes concrets et tâches consommatrices et génératrices : optimalité
- Systèmes avec contraintes thermiques
- L'outil de simulation YARTISS

# Plan

- 1 Introduction
- 2 Problématiques
- 3 État de l'art
- 4 Contributions
  - **Systèmes non-concrets et tâches consommatrices :  $PFP_{ASAP}$**
  - Systèmes concrets et tâches consommatrices et génératrices : tests d'ordonnançabilité
  - Systèmes concrets et tâches consommatrices et génératrices : optimalité
  - Systèmes avec contraintes thermiques
  - L'outil de simulation YARTISS
- 5 Conclusion

# L'algorithme $PFP_{ASAP}$ (au plus tôt)

-	$C_i$	$E_i$	$T_i$	$D_i$	$P_i$
$\tau_1$	2	12	10	5	1
$\tau_2$	2	16	20	13	2



## L'algorithme $PFP_{ASAP}$

- **Exécute** les tâches quand l'énergie disponible dans la batterie est **suffisante**,
- **Recharge** autant que nécessaire pour exécuter une seule unité de temps.

$PFP_{ASAP}$  est un algorithme énergétiquement non-oisif

Le processeur est inactif uniquement quand l'énergie n'est pas suffisante pour exécuter au moins une unité de temps de la plus prioritaire des tâches actives.

# Le pire scénario

## Hypothèses

- Le système est non-concret énergétiquement<sup>1</sup>
- Toutes les tâches sont des consommatrices

## Théorème

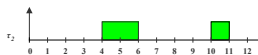
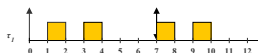
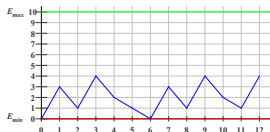
Sous ces hypothèses, le pire scénario qu'une tâche peut subir sous  $PFP_{ASAP}$  se produit à chaque fois qu'elle est activée simultanément avec toutes les tâches plus prioritaires alors que la batterie est à son seuil minimal  $E_{min}$ .

---

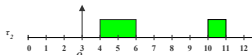
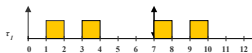
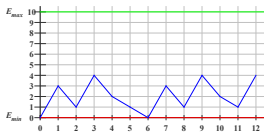
1. Pas d'hypothèses sur les premières dates d'activation et le niveau initial de la batterie

# Le pire scénario

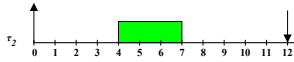
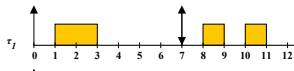
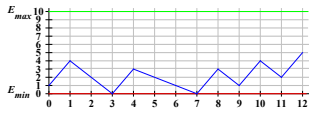
L'idée de la preuve : calculer le temps de réponse exact avec une formule et l'appliquer dans différents scénarios :



(a) Simultanées



(b) Décalées



(c)  $E(0) > E_{min}$

$$w_i(t) = \max \left( \left\lceil \frac{\sum_{j \leq i} \left\lfloor \frac{t - O_j}{T_j} \right\rfloor \times E_j - E(0)}{P_r} \right\rceil, \sum_{j \leq i} \left\lfloor \frac{t - O_j}{T_j} \right\rfloor \times C_j \right)$$

# Optimalité

## Théorème

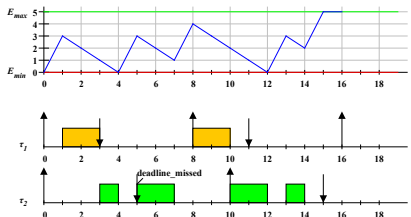
L'algorithme  $PFP_{ASAP}$  est optimal pour les systèmes de tâches non-concrets énergétiquement composés de tâches consommatrices seulement.

# Optimalité

## Théorème

L'algorithme  $PFP_{ASAP}$  est optimal pour les systèmes de tâches non-concrets énergétiquement composés de tâches consommatrices seulement.

## L'idée de la preuve



Si  $D_k \times P_r < \sum_{j \leq k} \left\lceil \frac{D_k}{T_j} \right\rceil \times E_j$ , alors  $\tau_k$  dépasse son échéance.

Un dépassement d'échéance se produit dans le pire cas seulement si l'énergie rechargée n'est pas suffisante pour satisfaire la demande d'énergie jusqu'à l'échéance dépassée.

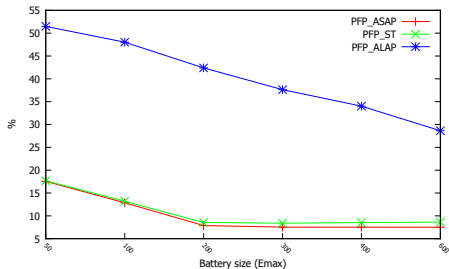
## Condition d'ordonnançabilité nécessaire et suffisante

- Par une analyse de temps de réponse
- L'utilisation de la formule (1) dans le pire scénario

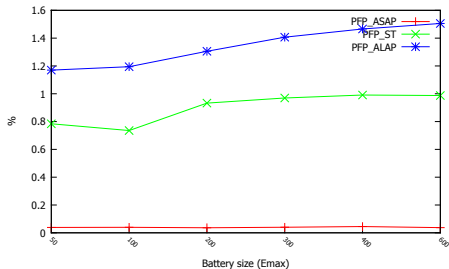
$$w_i(t) = \max \left( \left[ \frac{\sum_{j \leq i} \left\lceil \frac{t - O_j}{T_j} \right\rceil \times E_j - E(0)}{P_r} \right], \sum_{j \leq i} \left\lceil \frac{t - O_j}{T_j} \right\rceil \times C_j \right) \quad (1)$$

- L'étude de la première instance est suffisante car le système est étudié dans le pire scénario et les échéances sont contraintes ou implicites

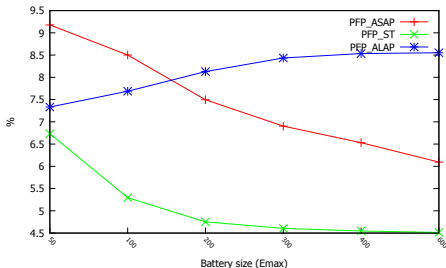
# Évaluation



(a) Taux d'échec



(b) Coût de l'algorithme



(c) Nombre de préemptions

# Publication

Ce travail est le fruit d'une collaboration avec Dr. Y. Abdeddaïm et a fait l'objet d'une publication dans la conférence ECRTS :



Yasmina Abdeddaïm, Younès Chandarli, and Damien Masson,  
“The Optimality of  $PFP_{ASAP}$  Algorithm for Fixed-Priority Energy-Harvesting Real-Time Systems”



# Plan

- 1 Introduction
- 2 Problématiques
- 3 État de l'art
- 4 Contributions
  - Systèmes non-concrets et tâches consommatrices :  $PFP_{ASAP}$
  - **Systèmes concrets et tâches consommatrices et génératrices : tests d'ordonnançabilité**
  - Systèmes concrets et tâches consommatrices et génératrices : optimalité
  - Systèmes avec contraintes thermiques
  - L'outil de simulation YARTISS
- 5 Conclusion

# Analyse d'ordonnançabilité avec approximation des temps de réponse

Ce qui change dans le modèle :

- un ensemble  $\Gamma = \Gamma_c \cup \Gamma_g$  de tâches **sporadiques** à priorité fixe  $\tau_i = (O_i, C_i, Pc_i, E_i, T_i, D_i, P_i)$  avec  $D_i \leq T_i$  :
  - **Les tâches consommatrices** :  $\Gamma_c = \{\tau_i \in \Gamma, Pc_i > P_r\}$
  - **Les tâches génératrices** :  $\Gamma_g = \{\tau_i \in \Gamma, 0 \leq Pc_i \leq P_r\}$

## Objectif

Construire un test d'ordonnançabilité sous  $PFP_{ASAP}$  pour les systèmes de tâches composés de tâches **consommatrices** et de tâches **génératrices** d'énergie.

# Analyse d'ordonnançabilité avec approximation des temps de réponse

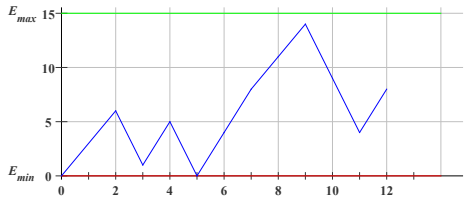
Ce qui change dans le modèle :

- un ensemble  $\Gamma = \Gamma_c \cup \Gamma_g$  de tâches **sporadiques** à priorité fixe  $\tau_i = (O_i, C_i, Pc_i, E_i, T_i, D_i, P_i)$  avec  $D_i \leq T_i$  :
  - Les tâches consommatrices :  $\Gamma_c = \{\tau_i \in \Gamma, Pc_i > P_r\}$
  - Les tâches génératrices :  $\Gamma_g = \{\tau_i \in \Gamma, 0 \leq Pc_i \leq P_r\}$

## Objectif

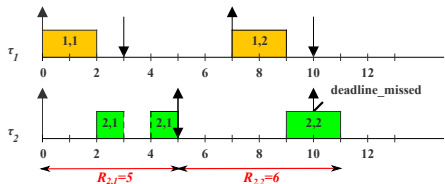
Construire un test d'ordonnançabilité sous  $PFP_{ASAP}$  pour les systèmes de tâches composés de tâches **consommatrices** et de tâches **génératrices** d'énergie.

# Analyse de temps de réponse sous $PFP_{ASAP}$



$$P_r = 4 \quad E_{max} = 15$$

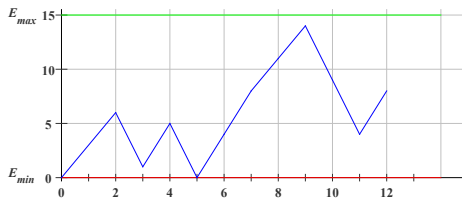
-	$C_j$	$E_j$	$T_j$	$D_j$	$PC_j$	$P_j$
$\tau_1$	2	2	7	3	1	1
$\tau_2$	2	18	5	5	9	2



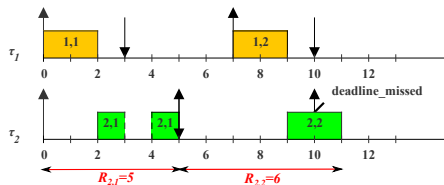
# Analyse de temps de réponse sous $PFP_{ASAP}$

Le pire scénario

L'activation synchrone de toutes les tâches n'est plus le pire scénario.



$$P_r = 4 E_{max} = 15$$

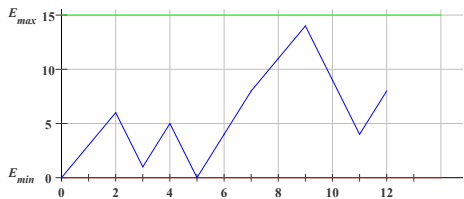


-	$C_j$	$E_j$	$T_j$	$D_j$	$PC_j$	$P_j$
$\tau_1$	2	2	7	3	1	1
$\tau_2$	2	18	5	5	9	2

# Analyse de temps de réponse sous $PFP_{ASAP}$

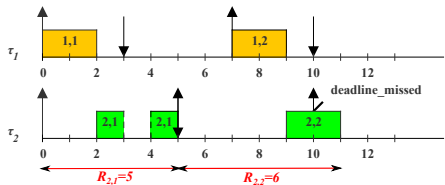
- Le pire scénario n'est pas connu
- Le test précédent devient seulement nécessaire

Borner par le haut  $R_i$  pour construire un test d'ordonnancement suffisant.



$$P_r = 4 E_{max} = 15$$

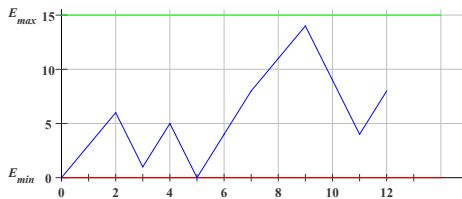
-	$C_i$	$E_i$	$T_i$	$D_i$	$Pc_i$	$P_i$
$\tau_1$	2	2	7	3	1	1
$\tau_2$	2	18	5	5	9	2



# Analyse de temps de réponse sous $PFP_{ASAP}$

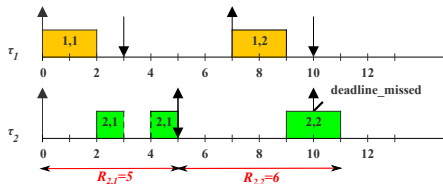
- Le pire scénario n'est pas connu
- Le test précédent devient seulement nécessaire

Borner par le haut  $R_i$  pour construire un test d'ordonnabilité suffisant.



$$P_r = 4 E_{max} = 15$$

-	$C_i$	$E_i$	$T_i$	$D_i$	$Pc_i$	$P_i$
$\tau_1$	2	2	7	3	1	1
$\tau_2$	2	18	5	5	9	2



## Borner le temps de réponse

- On a besoin d'une fonction monotone et croissante  $F(i, w)$  qui **borne par le haut la durée du pire temps de réponse** dans un intervalle de longueur  $w$  ;
- La borne supérieure  $R_i^{UB}$  du pire temps de réponse  $R_i$  correspond au **plus petit  $w > 0$  qui satisfait  $F(i, w) = w$** .
- On définit pour chaque tâche  $\tau_i$  un **scénario virtuel** qui :
  - 1 **maximise les interférences** des tâches plus prioritaires,
  - 2 **maximise** le nombre de **périodes de rechargement** requises.

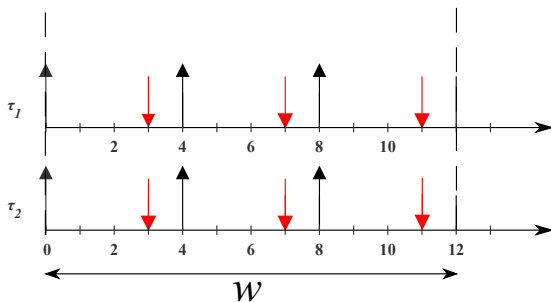
## Borner le temps de réponse

- On a besoin d'une fonction monotone et croissante  $F(i, w)$  qui **borne par le haut la durée du pire temps de réponse** dans un intervalle de longueur  $w$  ;
- La borne supérieure  $R_i^{UB}$  du pire temps de réponse  $R_i$  correspond au **plus petit  $w > 0$  qui satisfait  $F(i, w) = w$** .
- On définit pour chaque tâche  $\tau_i$  un **scénario virtuel** qui :
  - 1 **maximise les interférences** des tâches plus prioritaires,
  - 2 **maximise** le nombre de **périodes de rechargement** requises.

## Maximiser les interférences

Pour chaque tâche  $\tau_i$  activée dans une fenêtre de taille  $w$ , le nombre maximal d'instances de tâches plus prioritaires qui sont activées dans cette fenêtre est :

$$\sum_{j < i} \left\lceil \frac{w}{T_j} \right\rceil = \sum_{j < i, \tau_j \in \Gamma_c} \left\lceil \frac{w}{T_j} \right\rceil + \sum_{j < i, \tau_j \in \Gamma_g} \left\lceil \frac{w}{T_j} \right\rceil$$

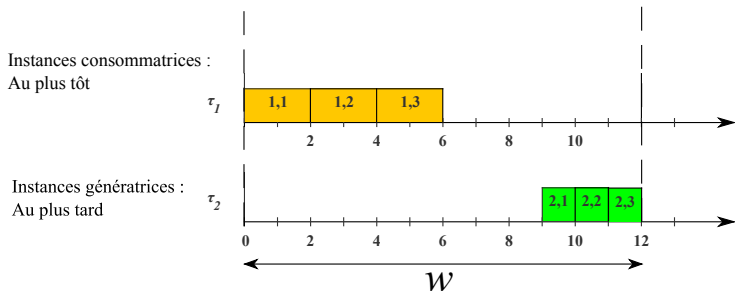


# Maximiser les rechargement

Pour borner par le haut le temps de rechargement dans une fenêtre de taille  $w$ , on considère un **scénario virtuel** où :

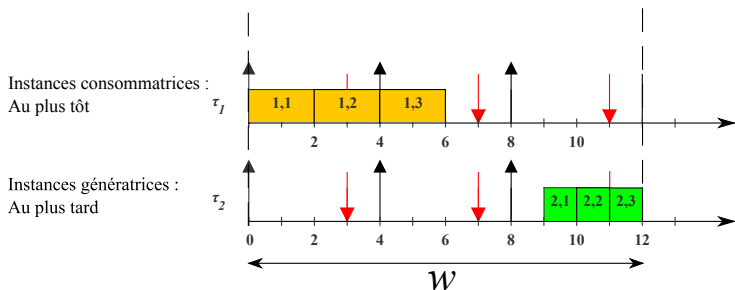
- 1 La **batterie est au seuil minimal  $E_{min}$**  au début de la fenêtre,
  - pour minimiser le budget énergie de l'intervalle  $w$ .
- 2 Toutes les **instances consommatrices** sont exécutées **avant** toutes les **instances génératrices d'énergie**.
  - pour maximiser les temps de rechargement

# Borne supérieure $R_i^{UB1}$



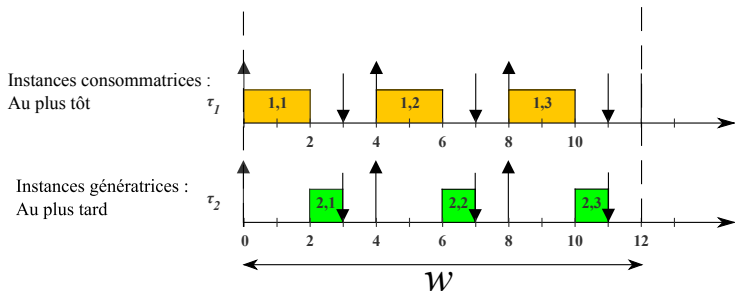
$$F^{UB1}(i, w) = \underbrace{\left[ \sum_{j \leq i, \tau_j \in \Gamma_c} \left\lceil \frac{w}{T_j} \right\rceil \times ((P_{C_j} - P_r) \times C_j / P_r) \right]}_{\text{le rechargement maximal}} + \underbrace{\sum_{j \leq i, \tau_j \in \Gamma_c} \left\lceil \frac{w}{T_j} \right\rceil \times C_j}_{\text{tâches consommatrices}} + \underbrace{\sum_{j \leq i, \tau_j \in \Gamma_g} \left\lceil \frac{w}{T_j} \right\rceil \times C_j}_{\text{tâches génératrices}}$$

# Une borne supérieure plus fine $R_i^{UB2}$



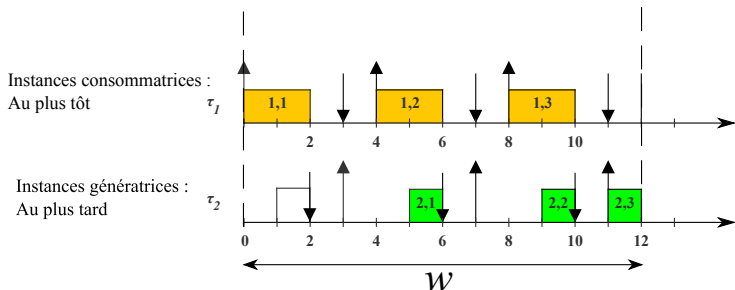
- Les instances consommatrices sont exécutées au plus tôt
- Les instances génératrices sont exécutées au plus tard

# Une borne supérieure plus fine $R_i^{UB2}$



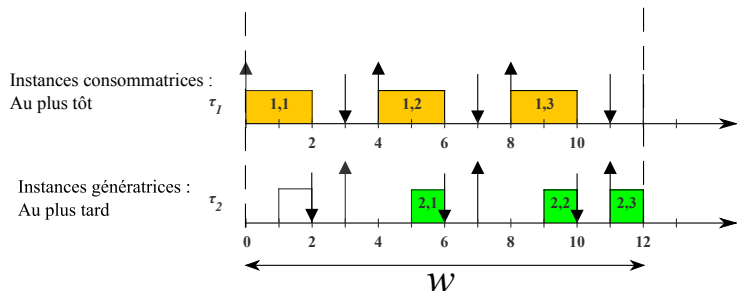
- Les instances consommatrices sont exécutées **au plus tôt**
- Les instances génératrices sont exécutées **au plus tard**

# Une borne supérieure plus fine $R_i^{UB2}$



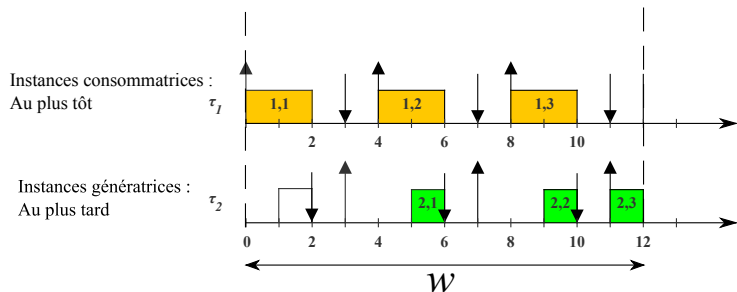
- Les instances consommatrices sont exécutées au plus tôt
- Les instances génératrices sont exécutées au plus tard

# Test d'ordonnançabilité suffisant $UB2$



- Pour calculer  $F^{UB2}(i, w)$ , on calcule le pire temps de réponse de la **séquence virtuelle** :

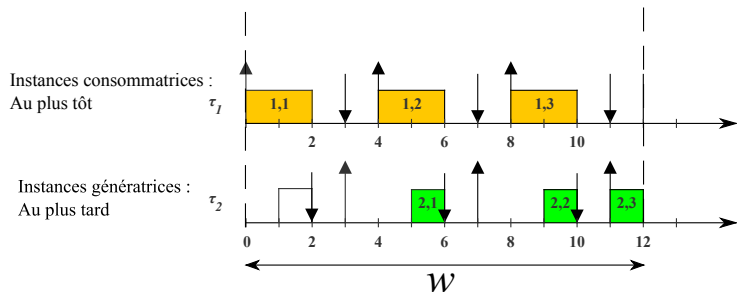
# Test d'ordonnançabilité suffisant $UB2$



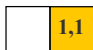
- Pour calculer  $F^{UB2}(i, w)$ , on calcule le pire temps de réponse de la **séquence virtuelle** :



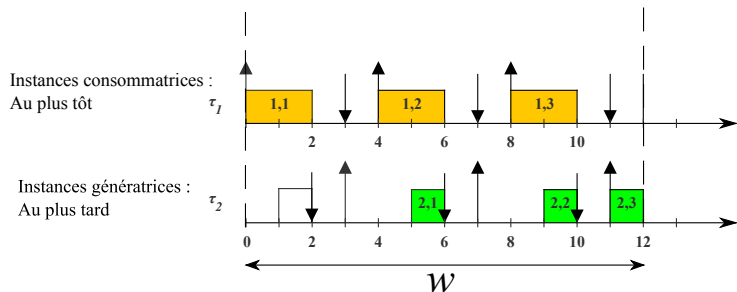
# Test d'ordonnançabilité suffisant $UB2$



- Pour calculer  $F^{UB2}(i, w)$ , on calcule le pire temps de réponse de la **séquence virtuelle** :



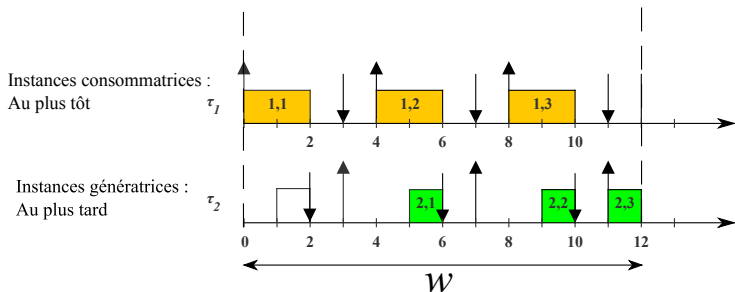
# Test d'ordonnançabilité suffisant $UB2$



- Pour calculer  $F^{UB2}(i, w)$ , on calcule le pire temps de réponse de la **séquence virtuelle** :



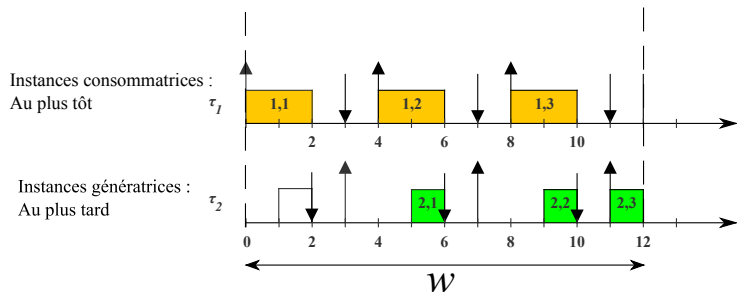
# Test d'ordonnançabilité suffisant $UB2$



- Pour calculer  $F^{UB2}(i, w)$ , on calcule le pire temps de réponse de la **séquence virtuelle** :



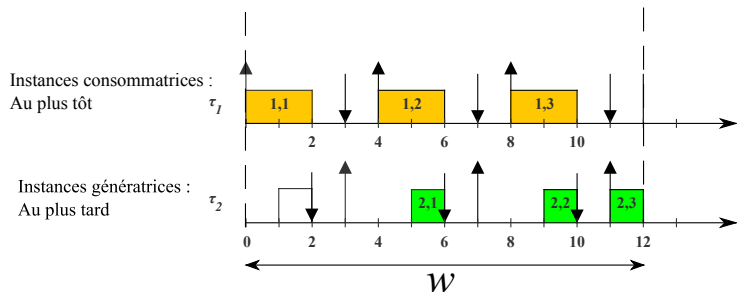
# Test d'ordonnançabilité suffisant $UB2$



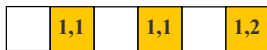
- Pour calculer  $F^{UB2}(i, w)$ , on calcule le pire temps de réponse de la **séquence virtuelle** :



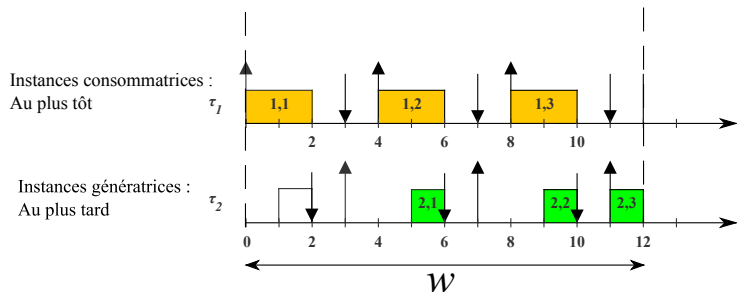
# Test d'ordonnançabilité suffisant $UB2$



- Pour calculer  $F^{UB2}(i, w)$ , on calcule le pire temps de réponse de la **séquence virtuelle** :



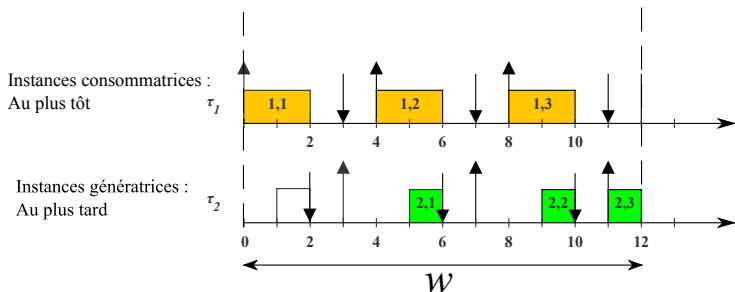
# Test d'ordonnançabilité suffisant $UB2$



- Pour calculer  $F^{UB2}(i, w)$ , on calcule le pire temps de réponse de la **séquence virtuelle** :



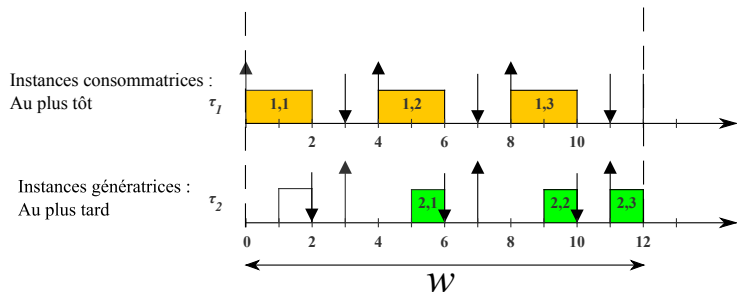
# Test d'ordonnançabilité suffisant $UB2$



- Pour calculer  $F^{UB2}(i, w)$ , on calcule le pire temps de réponse de la **séquence virtuelle** :



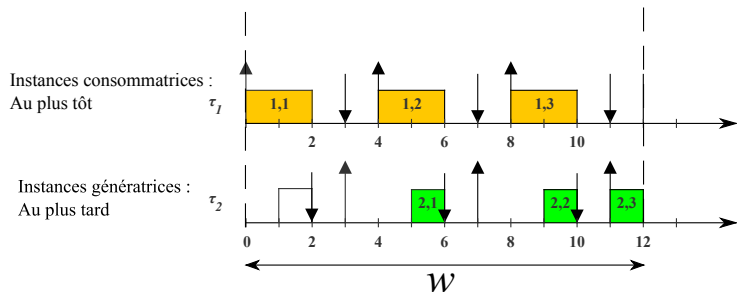
# Test d'ordonnançabilité suffisant $UB2$



- Pour calculer  $F^{UB2}(i, w)$ , on calcule le pire temps de réponse de la **séquence virtuelle** :



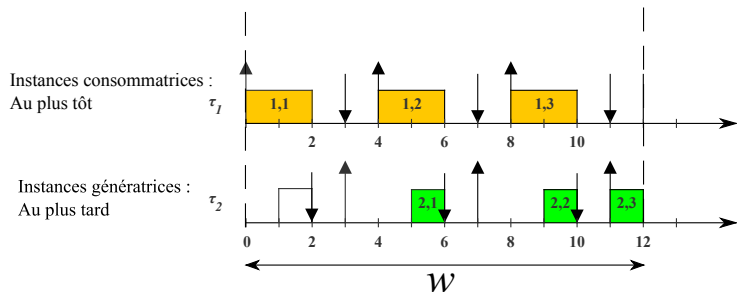
# Test d'ordonnançabilité suffisant $UB2$



- Pour calculer  $F^{UB2}(i, w)$ , on calcule le pire temps de réponse de la **séquence virtuelle** :



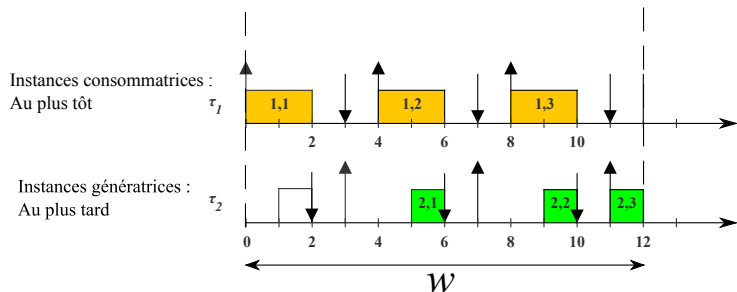
# Test d'ordonnançabilité suffisant $UB2$



- Pour calculer  $F^{UB2}(i, w)$ , on calcule le pire temps de réponse de la **séquence virtuelle** :



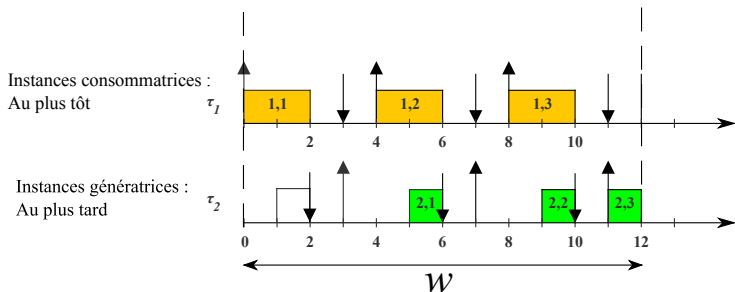
# Test d'ordonnançabilité suffisant $UB2$



- Pour calculer  $F^{UB2}(i, w)$ , on calcule le pire temps de réponse de la **séquence virtuelle** :



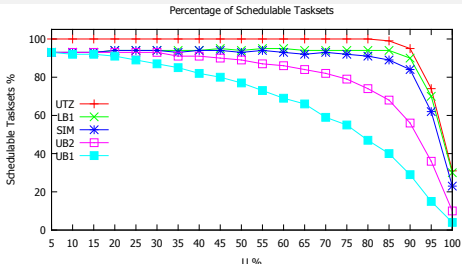
# Test d'ordonnançabilité suffisant $UB2$



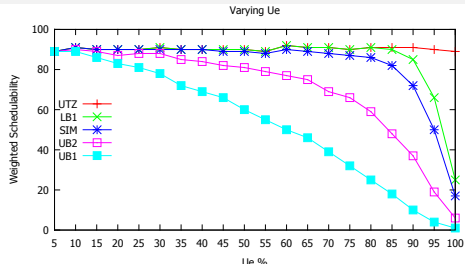
- Pour calculer  $F^{UB2}(i, w)$ , on calcule le pire temps de réponse de la **séquence virtuelle** :



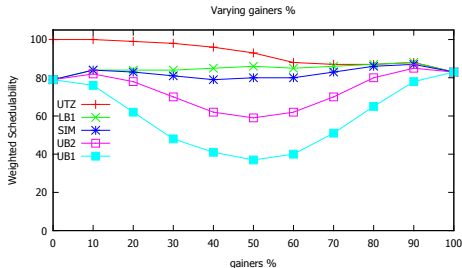
# Évaluation



(a) Variation de l'utilisation processeur



(b) Variation de l'utilisation énergétique



(c) Variation de types de tâches

## Publication

Ce travail est le fruit d'une collaboration avec Prof. R. Davis et Dr. Y. Abdeddaïm et a fait l'objet d'une publication dans la conférence RTNS :



Yasmina Abdeddaïm, Younès Chandarli, R.I. Davis and Damien Masson,  
“Schedulability Analysis for Fixed Priority Real-Time Systems with Energy-Harvesting”

RTNS  
  
2014



Prix du meilleur article de la conférence

Une version étendue sera soumise à *RTS Journal*

# Plan

- 1 Introduction
- 2 Problématiques
- 3 État de l'art
- 4 **Contributions**
  - Systèmes non-concrets et tâches consommatrices :  $PFP_{ASAP}$
  - Systèmes concrets et tâches consommatrices et génératrices : tests d'ordonnançabilité
  - **Systèmes concrets et tâches consommatrices et génératrices : optimalité**
  - Systèmes avec contraintes thermiques
  - L'outil de simulation YARTISS
- 5 Conclusion

# Recherche d'algorithme optimal

Nous avons exploré plusieurs idées d'algorithme :

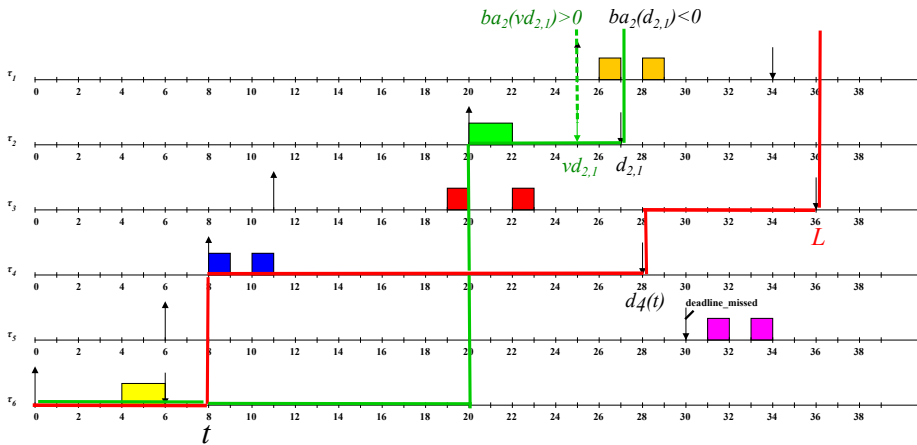
- $FPC_{ASAP}$
- $FPLSA$
- $FPLeg$
- $FP_{Ih}$

Aucun de ces algorithmes n'est optimal avec une complexité raisonnable :

## Conjecture

La problématique de l'ordonnancement temps réel des systèmes collecteurs d'énergie à priorité fixe est un problème NP-difficile.

# La difficulté de trouver un algorithme optimal



# Plan

- 1 Introduction
- 2 Problématiques
- 3 État de l'art
- 4 **Contributions**
  - Systèmes non-concrets et tâches consommatrices :  $PFP_{ASAP}$
  - Systèmes concrets et tâches consommatrices et génératrices : tests d'ordonnançabilité
  - Systèmes concrets et tâches consommatrices et génératrices : optimalité
  - **Systèmes avec contraintes thermiques**
  - L'outil de simulation YARTISS
- 5 Conclusion

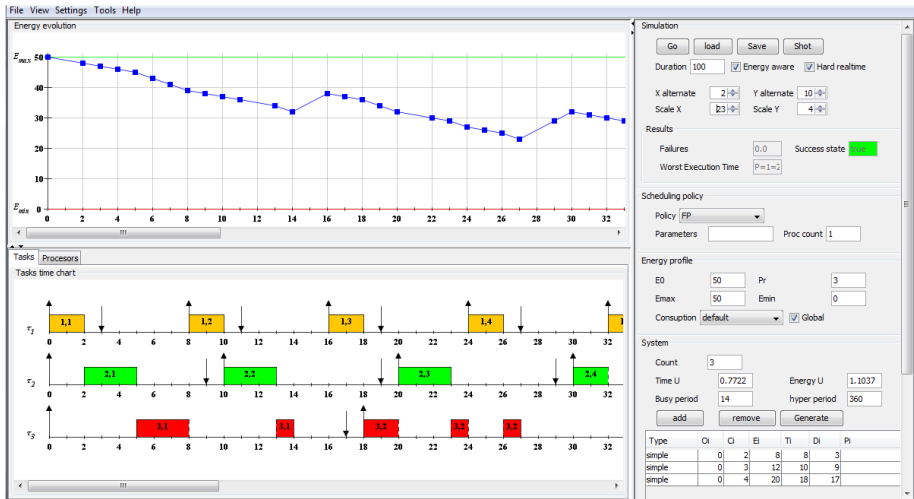
# Systèmes avec contraintes thermiques

- La température ne doit jamais dépasser un seuil maximal  $T_{max}$
- $T_{max}$  est l'équivalent de  $E_{min}$
- La problématique d'ordonnancement temps réel présente des similitudes avec celle des systèmes collecteurs d'énergie
- Ce travail a été entamé dans le cadre d'une collaboration avec Prof. N. Fisher

# Plan

- 1 Introduction
- 2 Problématiques
- 3 État de l'art
- 4 Contributions**
  - Systèmes non-concrets et tâches consommatrices :  $PFP_{ASAP}$
  - Systèmes concrets et tâches consommatrices et génératrices : tests d'ordonnançabilité
  - Systèmes concrets et tâches consommatrices et génératrices : optimalité
  - Systèmes avec contraintes thermiques
  - **L'outil de simulation YARTISS**
- 5 Conclusion

## YARTISS



## YARTISS

File View Settings Tools Help

Processors chronogram

Proc<sub>1</sub>

Proc<sub>2</sub>

Proc<sub>3</sub>

Tasks

Processors

Tasks time chart

P<sub>1</sub>

P<sub>2</sub>

P<sub>3</sub>

Simulation

Go load Save Shot

Duration 100  Energy aware  Hard realtime

X alternate 2 Y alternate 10

Scale X 23 Scale Y 4

Results

Failures 0.0 Success state █

Worst Execution Time P=3=E

Scheduling policy

Policy FP

Parameters  Proc count 2

System

Count 3

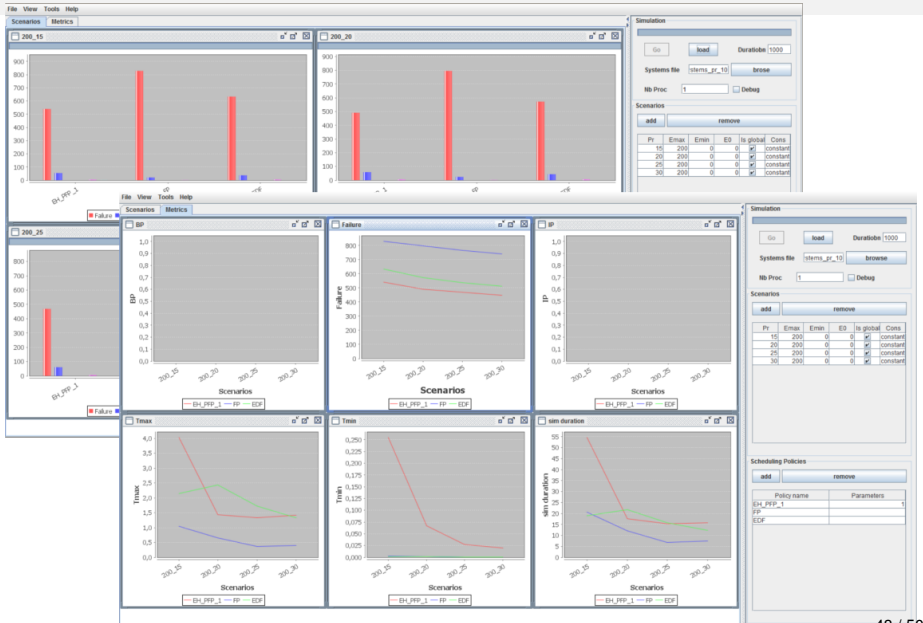
Time U 1.65

Busy period 33 hyper period 20

add remove Generate

Type	Oi	CI	Ti	Di	Pi
simple	0	2	4	3	
simple	2	3	4	9	
simple	0	4	10	17	

## YARTISS



## Publication

YARTISS a fait l'objet d'une publication dans le workshop WATERS qui est associé à la conférence ECRTS :



Younes Chandarli, Frederic Fauberteau, Damien Masson, Serge Midonnet and Manar Qamhieh.

“YARTISS : A Tool to Visualize, Test, Compare and Evaluate Real-Time Scheduling Algorithms”. WATERS 2012.

**WATERS**

# Plan

- 1 Introduction
- 2 Problématiques
- 3 État de l'art
- 4 Contributions
- 5 Conclusion**

# Conclusion

- 1  $PFP_{ASAP}$  : un algorithme optimal pour les systèmes non-concrets de tâches consommatrices
  - Une condition d'ordonnançabilité pour la même famille de systèmes
- 2 Deux conditions d'ordonnançabilité suffisantes basées sur des bornes supérieures du pire temps de réponse des tâches des systèmes pouvant contenir des tâches génératrices d'énergie
- 3 Une étude approfondie sur l'existence d'un algorithme optimal pour le modèle général
- 4 Début d'exploration des éventuelles similitudes avec les systèmes sous contraintes thermiques
- 5 YARTISS : un outil de simulation modulaire et extensible

# Perspectives

## Pistes d'approfondissement :

- Étudier le modèle sous d'autres **hypothèses** : profils de rechargement et de consommation
- Continuer l'exploration des similitudes avec les **systèmes sous contraintes thermiques**
- Étudier le modèle sur des plateformes **multiprocesseur**

## Problèmes ouverts :

- Prouver que le problème d'ordonnancement à priorité fixe des systèmes collecteurs d'énergie est un problème **NP-Difficile**

Merci pour votre attention

**Questions**



**Réponses**

## Production scientifique

### Publications :

- Deux articles de conférence
- Un atelier (Workshop)
- Deux articles courts (WIP)
- Un journal en cours de rédaction

### Distinctions :

- Prix du meilleur article de la conférence RTNS 2014

### Logiciels :

- Le développement de YARTISS

### Communication :

- Présentation des articles aux conférences
- Présentation des papiers courts sous forme de posters
- Présentation de YARTISS dans plusieurs séminaires

### Mobilité internationale :

- Séjour de 2 mois à *Wayne State University* à Detroit aux États-Unis pour une collaboration avec Prof. Nathan Fisher

# Remerciements

Ma famille et mes amis ...

L'équipe d'encadrement :

- Mon directeur de thèse Laurent George
- Mon encadrant Damien Masson

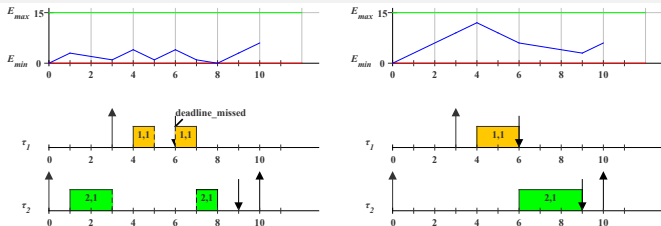
Les collaborateurs :

- Yasmina Abdeddaïm
- Rob Davis
- Nathan Fisher

Et tous ceux que j'ai pu rencontrer pendant cette thèse :

- Les amis et les collègues doctorants et titulaires
- L'équipe administrative du LIGM et de l'ESIEE
- L'équipe administrative de l'école doctorale

# Recherche d'algorithme optimal



Pour le modèle général à priorité fixe :

- $PFP_{ASAP}$ ,  $PFP_{ALAP}$  et  $PFP_{ST}$  ne sont pas optimaux

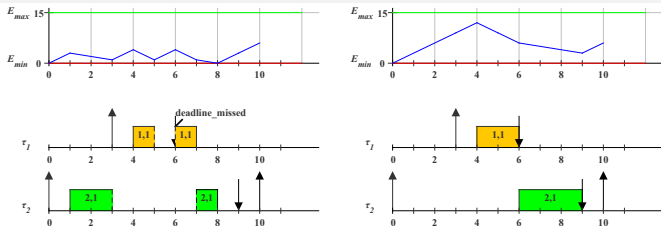
La non-oisiveté énergétique

Aucun algorithme non-oisif énergétiquement n'est optimal.

La clairvoyance

L'algorithme optimal doit être clairvoyant temporellement et énergétiquement.

# Recherche d'algorithme optimal



Pour le modèle général à priorité fixe :

- $PFP_{ASAP}$ ,  $PFP_{ALAP}$  et  $PFP_{ST}$  ne sont pas optimaux

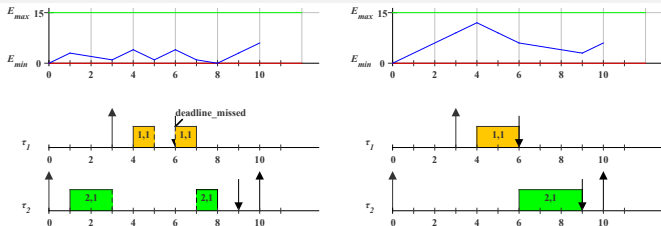
La non-oisiveté énergétique

Aucun algorithme non-oisif énergétiquement n'est optimal.

La clairvoyance

L'algorithme optimal doit être clairvoyant temporellement et énergétiquement.

# Recherche d'algorithme optimal



Pour le modèle général à priorité fixe :

- $PFP_{ASAP}$ ,  $PFP_{ALAP}$  et  $PFP_{ST}$  ne sont pas optimaux

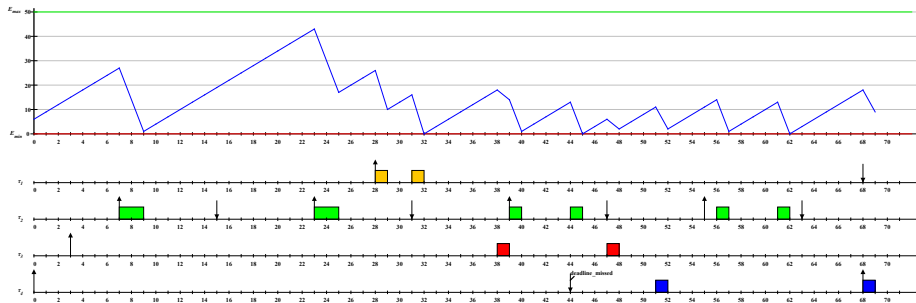
La non-oisiveté énergétique

Aucun algorithme non-oisif énergétiquement n'est optimal.

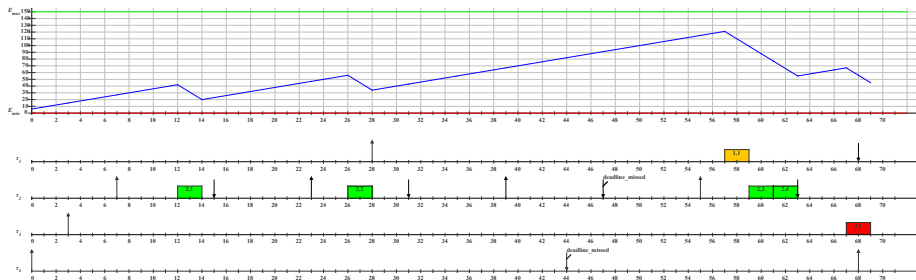
La clairvoyance

L'algorithme optimal doit être clairvoyant temporellement et énergétiquement.

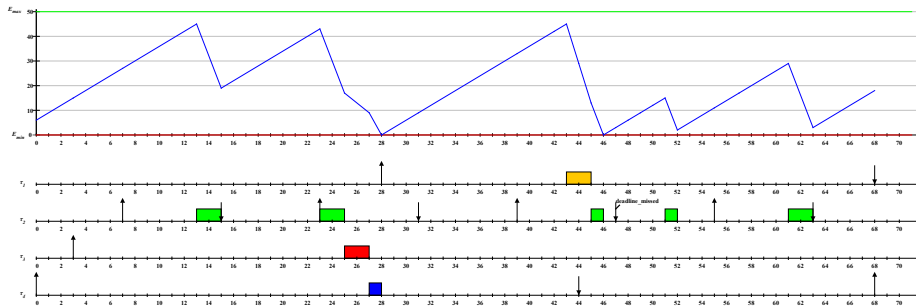
# L'algorithme $FPC_{ASAP}$

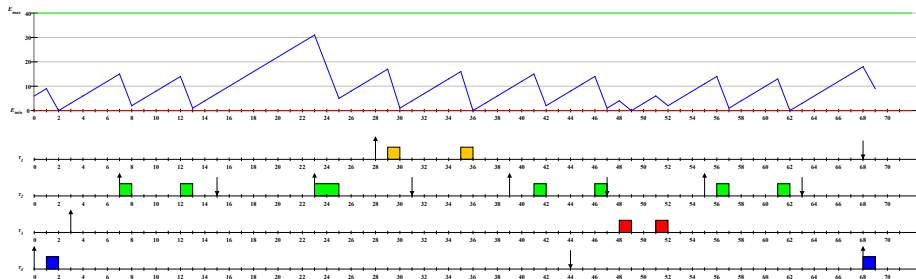


# L'algorithme *FPLSA*



# L'algorithme *FPLeg*



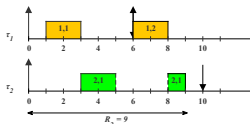
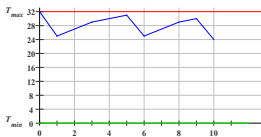
L'algorithme  $FP_{lh}$ 

# Systèmes avec contraintes thermiques

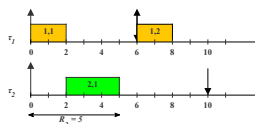
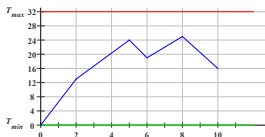
$$T'(t) = a - b \times T(t) \quad (2)$$

$$T(t) = \frac{a}{b} + \left( T(t_0) - \frac{a}{b} \right) \times e^{-b(t-t_0)} \quad (3)$$

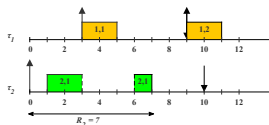
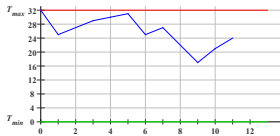
$$T(t) = T(t_0) \times e^{-b(t-t_0)} \quad (4)$$



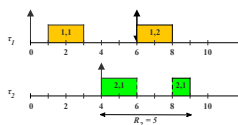
(a) Synchronous



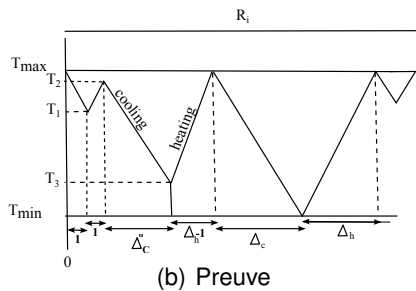
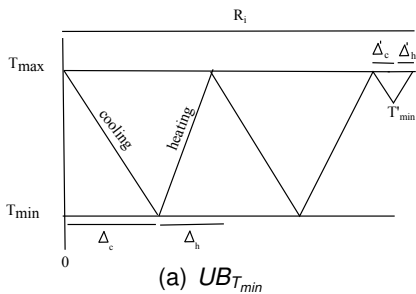
(b)  $T(0) < T_{max}$

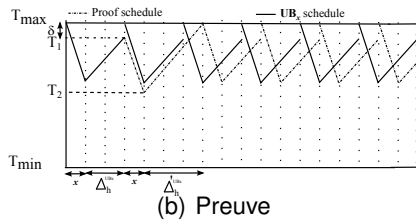
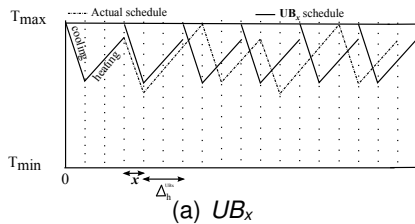


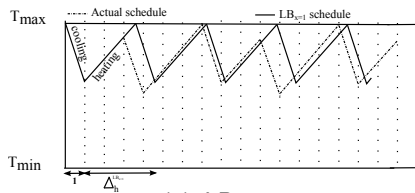
(c) Negative shifting



(d) Positive shifting

Borne  $UB_{T_{min}}$ 

Borne  $UB_x$ 

Borne  $LB_{x=1}$ (a)  $LB_{x=1}$